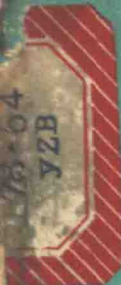


离心式水泵的技术测定

楊兆彬 編寫

中国工业出版社



离心式水泵的技术测定

楊兆彬 編寫

严万生 审校



中国工业出版社

本书重点介绍了矿井离心式水泵的特性曲线（包括扬程、流量、转数、功率和效率等基本参数）和管路特性曲线以及这些曲线的测定方法、测定的注意事项、测定结果的整理和特性曲线的绘制，水泵经济运行的几种调节方法等。对离心式水泵的结构、原理仅作扼要的叙述。内容具体实用，可供煤矿和使用离心式水泵的部门在测定水泵性能时参考。

离心式水泵的技术测定

楊兆彬 編寫

严万生 审校

*

煤炭工业部书刊编辑室編輯（北京东长安街煤炭工业部大楼）

中国工业出版社出版（北京东长安街10号）

北京市书刊出版业营业登记证字第110号

中国工业出版社第一印刷厂印刷

新华书店北京发行所发行，各地新华书店經售

*

开本787×1092^{1/32}·印张2·字数39,000

1965年6月北京第一版·1965年6月北京第一次印刷

印数0001—8,360·定价（科四）0.24元

*

统一书号：15165·3940（煤炭-279）

目 录

第一章 概論	1
§ 1-1 离心式水泵的基本原理与分类	1
§ 1-2 离心式水泵的特性曲线和管路特性曲线	6
§ 1-3 测定过程中的一般事项	19
第二章 水泵特性曲綫的測定	21
§ 2-1 試驗用设备及仪表	21
§ 2-2 揚程的測定	29
§ 2-3 流量的測定	30
§ 2-4 轉數的測定	38
§ 2-5 功率測定和效率計算	39
第三章 管路特性曲綫的測定	40
第四章 測定結果的整理和特性曲綫的繪制	44
第五章 矿井排水設備經濟运行的几种調节方法	46
§ 5-1 水泵的正常工作区域	47
§ 5-2 水泵特性的調节	48
§ 5-3 管路特性曲綫的調节	51
§ 5-4 其他有利于水泵經濟运行的几种方法	56

第一章 概 論

§ 1-1 离心式水泵的基本原理与分类

一、离心式水泵的结构和原理

离心式水泵的用途較广。在煤矿中主要是用来将矿井涌水由井下（低水平）排到井上（高水平），是矿井主要设备之一。其作用原理是利用工作机构—叶輪使吸入侧和排出侧产生压力差。图1是单级离心式水泵的简图。有多个后倾叶片组成的叶輪1，随泵轴2旋转后，叶片迫使液体随叶輪旋转，由于离心力作用，叶輪内的液体被甩向四周产生加速度，液体动能增加，液体的动能在叶輪导向輪3

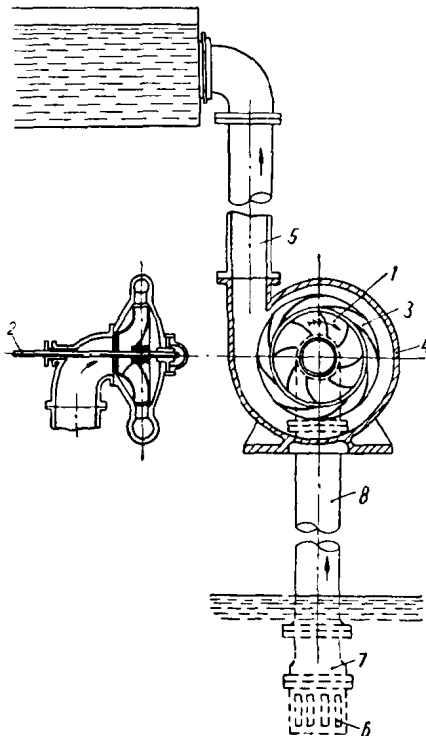


图 1 离心式水泵

和泵壳 4 中转化为压能，压入排水管 5 中。与此同时吸入侧压力下降，形成低于大气压力的半真空状态，与作用在吸水面上的大气压力造成压差。这时吸水面的液体便由笼头孔 6 打开底阀 7，经吸水管 8 被压入泵内。这样，叶轮不断的旋转，液体也连续不断的被吸入和排出。

液体进入叶轮后，从叶轮获得能量，速度与压力都要增

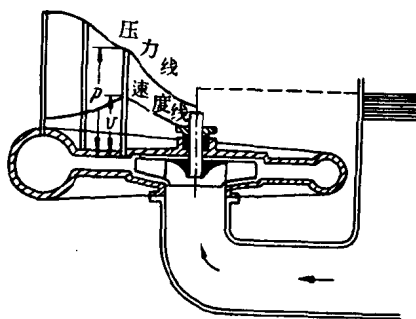


图 2 水进入叶轮后速度与压力变化图
与压力的变化見图 2。

加。离开叶轮后的液体，已具有相当大的速度，如果直接导入泵壳，势必产生冲击，使能量损失增大。因此，在具有高压水泵的叶轮外，都设有导向装置，使高速度液流的大部分动能变为压能，速度

二、离心式水泵的分类

1. 按扬程高低分类

- (1) 低压泵 (扬程低于20米水柱)；
- (2) 中压泵 (扬程为20~160米水柱)；
- (3) 高压泵 (扬程高于160米，最高达2000米水柱)。

2. 按有无导向轮分类

- (1) 无导向装置的螺壳式水泵。叶轮内的水直接流入螺旋式泵壳内，使动能逐渐变成压能，见图3；
- (2) 有导向装置的离心泵。从叶轮流出的水，经导向

輪后，一方面将动能变为压能，同时又利用导向装置改变了水流方向，使其沿径向流出，見图 4。

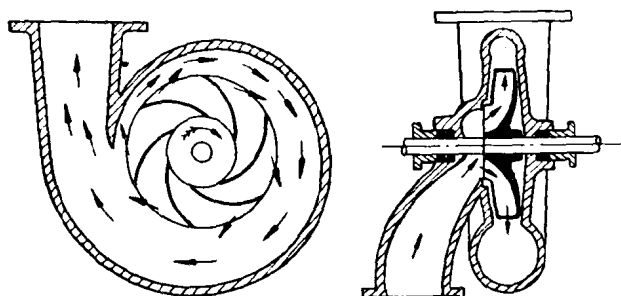


图 3 螺壳式水泵

3. 按叶輪数目分类

(1) 单級泵。泵壳內仅有一个叶輪。这种泵揚程很低，一般不超过 50~70 米，見图 3；

(2) 多級泵。泵壳內装有 2 个以上叶輪，液体順次經過一系列叶輪以增加揚程。总揚程等于每个叶輪产生揚程的总和，見图 5。



图 4 有导向裝置水泵

4. 按叶輪进水方式分类

(1) 单吸式水泵，叶輪的一侧有进水口，見图 3 侧面图；

(2) 双吸式水泵，叶輪的两侧都有进水口，其流量是单吸式水泵的两倍，見图 6。

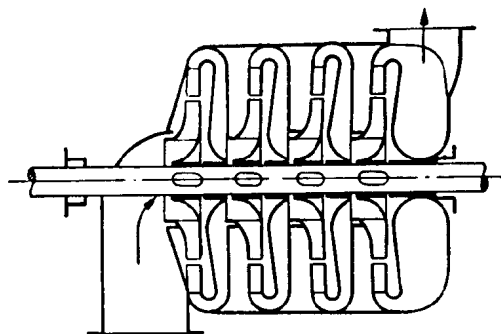


图 5 多級式水泵

5. 按比轉數分类

- (1) 低比轉數的泵；
- (2) 正常(中速)比轉數的泵；
- (3) 高比轉數的泵。

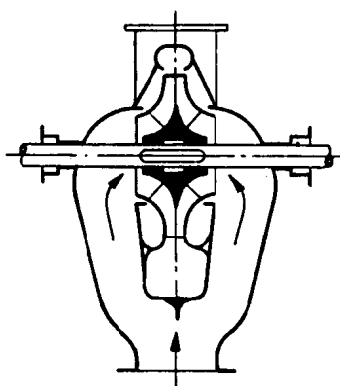


图 6 双吸式水泵

比轉數是確定水泵類型的特性系數之一。葉輪完全相似的一組水泵，轉數雖然不同，但比轉數是相同的，也就是它們的性能是相似的，在流量、揚程、轉數之間有一定的關係。在一組性能相似的水泵中，將一台水泵的葉輪縮小，並使其揚程為1米，流量為 $0.075\text{ m}^3/\text{s}$ ，所

產生的有效功率是1馬力，這縮小葉輪的每分鐘轉數，就是這一組水泵的比轉數，可用下列公式表示：

$$\text{单级单吸式水泵} \quad n_s = 3.65 \frac{n\sqrt{Q}}{H^{3/4}} \quad (1-1)$$

式中 n —— 水泵的轉数 (轉/分)；
 Q —— 水泵的流量 (米³/秒)；
 H —— 水泵的揚程 (米)。

多級水泵每个叶輪的比轉数

$$n_s = 3.65 \frac{n\sqrt{Q}}{\left(\frac{H}{Z}\right)^{3/4}} \quad (1-2)$$

式中 Z —— 水泵級数。

$$\text{双吸式水泵} \quad n_s = 3.65 \frac{n\left(\frac{Q}{2}\right)^{1/2}}{H^{3/4}} \quad (1-3)$$

按照 n_s 的大小，可以将水泵分成五种基本型式 (图 7)。

离心泵			混流泵	軸流泵
低速的	中速的	高速的		
				
$n_s = 50 \sim 100$	$n_s = 100 \sim 200$	$n_s = 200 \sim 300$	$n_s = 300 \sim 500$	$n_s = 500 \sim 1200$
$\frac{D_2}{D_0} \approx 3$	$\frac{D_2}{D_0} \approx 2$	$\frac{D_2}{D_0} \approx 1.8 \sim 1.4$	$\frac{D_2}{D_0} \approx 1.2 \sim 1.1$	$\frac{D_2}{D_0} \approx 0.8$

图 7 各种水泵比轉数

§ 1-2 离心式水泵的特性曲线和管路特性曲线

一、水泵的理论特性曲线和实际特性曲线

离心式水泵的特性曲线是表示在一定转数下，水泵基本参数流量Q与扬程H、功率N、效率η间的关系曲线，见图8。其中流量Q与扬程H的关系曲线为水泵的主要特性曲线。

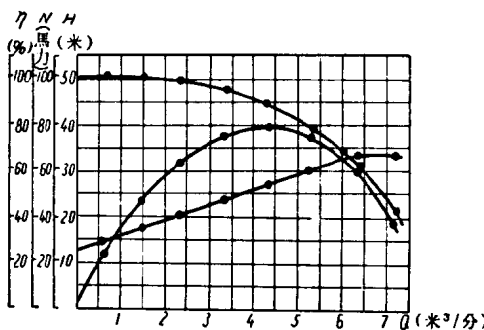


图 8 离心式水泵特性曲线

由透平理论可知，欧拉方程式是离心式水泵的基本方程式：

$$H_{T\infty} = \frac{1}{g} (u_2 c_2 \cos \alpha_2 - u_1 c_1 \cos \alpha_1) \quad (1-4)$$

式中 $H_{T\infty}$ —— 水泵的理论扬程（米）；

u_2, u_1 —— 液体进出水轮的圆周速度；

c_2, c_1 —— 液体进出水轮的绝对速度；

α_1, α_2 —— 绝对速度与圆周速度间之角度。

离心式水泵液体在水轮入口是沿径向进入的，故 $\alpha_1 = 90^\circ$ ，离心水泵的基本方程式可写成：

$$H_{r\infty} = \frac{u_2 c_2 \cos \alpha_2}{g}, \quad (1-5)$$

由图 9 速度平行四边形得：

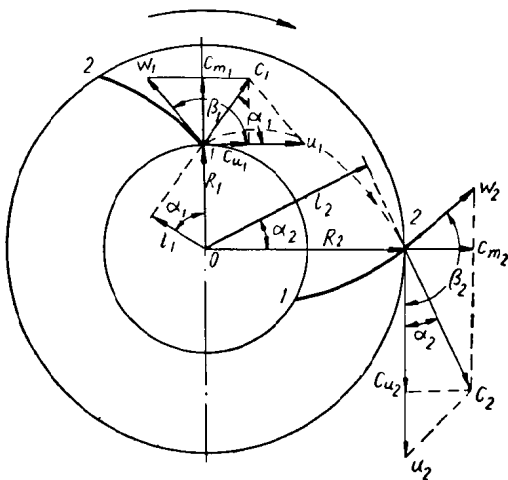


图 9 速度平行四边形

$$\begin{aligned} c_2 \cos \alpha_2 &= u_2 - w_2 \cdot \cos \beta_2 \\ H_{r\infty} &= \frac{u_2^2 - u_2 w_2 \cdot \cos \beta_2}{g} \end{aligned} \quad (1-6)$$

水泵的理論流量为：

$$Q = C_{m_2} \cdot F_2$$

式中 $F_2 = \pi D_2 \cdot b_2$ —— 水輪出口面积；

$$C_{m_2} = w_2 \cdot \sin \beta_2.$$

$$\therefore Q = \pi D_2 b_2 \cdot w_2 \cdot \sin \beta_2 \quad (1-7)$$

代入 (1-6) 式得：

$$H_{r\infty} = \frac{u_2^2}{g} - \frac{u_2 Q \operatorname{ctg} \beta_2}{\pi g D_2 \cdot b_2} \quad (1-8)$$

假設水泵的轉數恒定，上式右側除 Q 值外，全是常數，因此(1-8)式可變成：

$$H_{\infty} = K_1 - K_2 Q \quad (1-9)$$

式中 K_1 、 K_2 为常数。离心式水泵叶輪叶片采用后倾式时， $\beta_2 > 90^\circ$ ， $K_2 < 0$ 。

式(1-9)为当水泵叶片为无限多与无限薄时，流量与理論揚程的关系曲綫，如图10直綫 I，这就是离心式水泵的理論特性曲綫。

由于水泵的叶片并非无限多及无限薄，同时在水泵內部存在各种損失，因此水泵实际揚程 H 将小于理論揚程。图10，I是叶片为有限时流量与揚程的关系曲綫(直綫)，II表示泵內水力損失与流量的关系曲綫；IV表示泵內的冲击損失与流量的关系曲綫。要获得实际的 $Q-H$ 曲綫，必須由直綫 I 减去曲綫 II、IV，亦即从有限叶片关系曲綫 I 的纵座标上减去水力損失曲綫 II，得一抛物綫 V；再从抛物綫的纵座标减去冲击損失曲綫 IV，得到曲綫 VI，这一曲綫就是实际的 $Q-H$ 特性曲綫。从图上可見，在曲綫 VI 上有 O' 、 K 、 N 三个点， O' 是当 $Q=0$ 时水泵的揚程，这一点說明当閘閥全部关闭后，泵內的压力不会无限升高，而是一有限值。点 K 是曲綫上具有最大值的一点，在特性曲綫 K 点左边部分为水泵不稳定工作区域。点 N 是对应于水泵最高效率的压力值，也是設計給定的額定压力值。由图可知，水泵工作状态离开 N 点愈远，冲击損失愈大。

由于液体在泵內的流动状态极为复杂，各种損失不能准确的算出，所以理論特性曲綫不能代表水泵的实际特性曲綫，只有用实验的方法，才可能真实反映出各参数間的复杂变化关系，找出每台泵的实际工作状态。

实际特性曲线是靠调节水泵出口处的闸阀来控制其流量大小，同时记录扬程 H 、功率 N 及流量 Q 等一系列读数，经计算后，按一定比例绘制得出的。

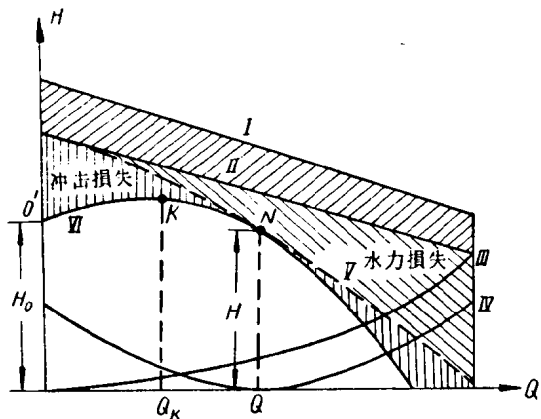


图 10 水泵计算特性曲线的绘制

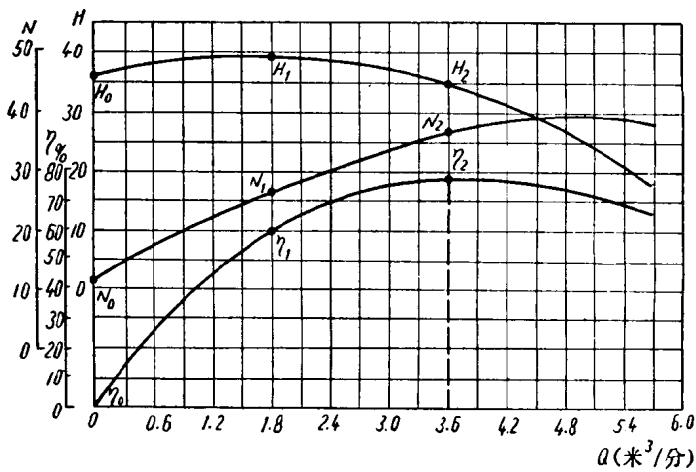


图 11

現根据图11簡要分析三个曲線的变化情况。当閘閥完全关闭，流量 $Q=0$ 时，揚程 H 有一个較大值 H_0 （如 $Q-H$ 特性曲線是陡峭的，則出現一最大值，这将根据特性曲線的形狀而定），功率 N 有一最小值 N_0 。这时水泵沒有排出液体，功率 N_0 是消耗在叶輪对液体的搅动，以及軸承、填料箱等摩擦損失上，并非有效功率。故此时效率 $\eta_0=0$ 。当閘閥逐渐开启相当于曲線上的一点时，流量有一較小值 $Q_1=1.8$ 米³/分，揚程有一最大值（如 $Q-H$ 曲線是陡降的，則出現一較小值），此时的对应功率及效率均随流量的增大而上升， $N_1=26$ 馬力， $\eta_1=60\%$ 。当閘閥开启到一定程度在曲線上相当于 H_2 点时，效率 η_2 出現一最大值达77%，其对应流量、功率及揚程为 $Q_2=3.6$ 米³/分， $H_2=35$ 米， $N_2=36$ 馬力，如繼續开启閘閥，流量及功率虽仍繼續增大，但效率已漸趋下降。由几条曲線的变化規律可以发现，对应一定的 H 、 Q 、 N 值，效率曲線有一最大值 η_2 ，这一点就是經濟运行点。效率最高点的左右平緩段愈大，水泵的經濟运行范围也愈大，对水泵的經濟运行就愈有利。如要使水泵在經濟状态下工作，应尽量使水泵保持在 η_2 点运行或力求接近在这一状态下运行最为理想，对新安装的水泵管路，应在接近 η_2 点右侧运行。

二、特性曲線的几种形式

$Q-H$ 特性曲線根据叶輪轉數，叶輪叶片数以及其出水角和結構形状等不同而形成多种多样的形狀。根据曲線的陡峭程度可以分成几种类型。陡峭程度由系数 K 确定：

$$K = \frac{H_0 - H_\infty}{H_\infty} \times 100\% \quad (1-10)$$

式中 H_0 —— 流量 $Q=0$ 时的揚程；

H_m —— 效率 $\eta=\eta_{max}$ 时的揚程。

图12中曲綫 1, $K=25\sim30\%$, 属于陡峭的特性曲綫；曲綫 2, $K=8\sim12\%$ 属于平緩的特性曲綫；曲綫 3 是駝峰的特性曲綫，它不能用陡峭程度来衡量。

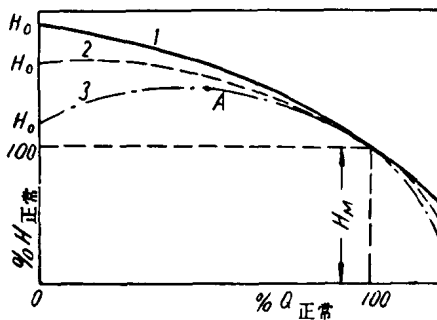


图 12 $Q-H$ 特性曲线的几种形式

三种不同的特性曲綫，各有它不同的特点。陡峭的特性曲綫在流量变化很小时，揚程的变化很大，符合靜压头是波动的情况下使用。平緩的特性曲綫特点是在揚程变化不大时，能在較大的流量范围内保持較高的效率，用于变动载荷时，这种特性曲綫較好。駝峰的特性曲綫中間凸起，两边下弯，在最大值 A 点左右的相同压头下，有两种不同流量，所以这种特性曲綫的水泵，在操作运行上是不稳定的，最大值 A 点叫作临界点，左边部分是水泵的不稳定区域。在这段区域内由于閘閥开启度很小，液体在閘閥內产生涡流，揚程损失很大，同时水量不稳定，效率也很低，是不合理的工作区域。

陡峭的和平緩的特性曲線，在任何工況情況下，都是比較穩定的。

$Q-H$ 特性曲線的任何一種形狀都和一定的比轉數 n_s 相適應。 n_s 很低時， $Q-H$ 曲線是平緩的（由於泵的壓頭高，流量小）； n_s 很高時， $Q-H$ 曲線是陡峭的（由於泵的流量很大，但壓頭並不高），見圖13,a。隨著 n_s 的增加，曲線愈變愈陡。 $Q-N$ ， $Q-\eta$ 特性曲線的形狀同樣與 n_s 的大小有關。圖13,b和圖13,c表示在固定轉數下，各種不同 n_s 水泵的典型 $Q-N$ ， $Q-\eta$ 特性曲線。

三、管路特性曲線

經過水泵獲得能量的液體，必須沿管路輸送到需要的場所。在輸送過程中，由於水泵可以產生不同的流量和揚程，所以液體通過不同管路時，所需克服的阻力也不同。對於一定結構的管路，通過流量愈大，管路的阻力損失也愈大，相反則愈小。如通過流量是零，那就根本不產生阻力損失。管路特性曲線就是反映流量與阻力損失的變化關係曲線。阻力損失包括：吸水管路和排水管路的沿程損失（直管損失）；由於彎管各種閘閥等所造成的局部損失。管路設施為一定時，阻力損失與管路中液體流速的平方成正比，和流量的平方也成正比。因此阻力損失可以下式表示：

$$H_w = \sum \xi \frac{v^2}{2g} = K \frac{Q^2}{2g} = K_1 Q^2 \quad (1-11)$$

式中 ξ —— 沿程損失與各種局部損失系數；

v —— 管路中液體流速（米/秒）；

K_1 —— 比例系數。

上式可以圖14中的一條二次拋物線表示。水泵所產生的

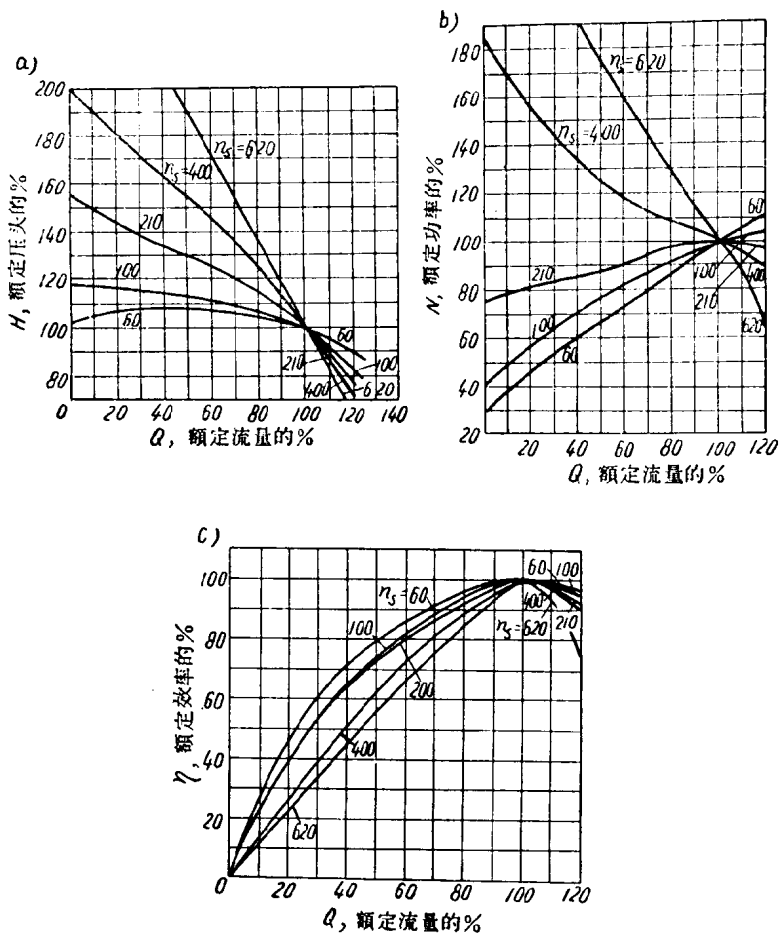


图 13

a—各种不同比轉數水泵的 $Q-H$ 特性曲線; b—各種不同比轉數水泵的 $Q-N$ 特性曲線; c—各種不同比轉數水泵的 $Q-\eta$ 特性曲線